

В.Х. Касіяненко, В.Д. Мартинюк

Особливості будови зони провідності у високотемпературних кераміках системи 1:2:3 легованої К і Zn

*Вінницький державний технічний університет,
Хмельницьке шосе, 95, м. Вінниця, 21021*

З метою розуміння співвідношення між барієвою і мідною стехіометрією, електронною структурою, об'ємним вмістом фаз і температурою переходу в надпровідний стан в системі 1:2:3, ми провели легування для $x = 0,05$ по калію і цинку. Результати отримані нами забезпечують оцінку T_c і дають можливість пов'язати її величину з електронною структурою. Наш аналіз свідчить про те, що можливе значення T_c залежить від структури f-станів в зоні провідності. Також виявлено вплив на температуру надпровідного переходу заміщення атомів в катіонній підрешітці, що зумовлено можливим впливом сегрегацій фаз окремих елементів на фазовий склад на межі зерна. Аналіз особливостей зонної структури, який проведений нами на основі теоретичних розрахунків, передбачає, що T_c залежить від густини електронних станів поблизу рівня Фермі $N(E_F)$. Співставляючи експериментальні і теоретичні результати, ми прийшли до висновку, що для отримання повного енергетичного спектра зони провідності необхідно врахувати вплив дискретно-електронних ефектів на вузлі в атомі Ва.

Ключові слова: надпровідність, кераміка, леговані домішки, кристаліти, спектр.

Стаття постуила до редакції 11.02.2003; прийнята до друку 23.08.2003.

I. Вступ

На протязі останніх десятих років не падає інтерес до електронної будови високотемпературних надпровідників. Проведені дослідження методом резонансної фотоемісії [1-3] показали, що існує резонансне збільшення інтенсивності $5s^2 5p^6$ – електронних спектрів атома барію при енергії опромінюючих квантів 105 еВ. Потрібно відмітити, що положення і ширина рівнів атома барію в досліджуваних зразках $YBa_{2-x}Cu_{3-x}O_{7-\delta}$ (1:2:3) з металічною і напівпровідниковою залежністю опору від температури суттєво різні [1]. Результати отримані методом резонансної емісії, поставили питання про роль електронних станів атому барію у формуванні валентної зони і зони провідності в цих сполуках. Наявність згаданого вище резонансу зв'язано з електронними переходами $4d^{10}4f^0 \rightarrow 4d^9 4f^1$ в атомах барію. Автори роботи [4], що вивчали 4d-рентгеноелектронні спектри Ва в нормальному і надпровідниковому станах також виявили суттєві відмінності, які, напевно, обумовлені існуванням в системі (1:2:3) сильних електронних кореляцій.

Слід відмітити, що багаточисельні теоретичні дослідження зонної структури цих з'єднань не виявили яких-небудь особливостей в електронній будові, зв'язаних з електронними станами атомів барію і лантана. Однак у роботі [5] відмічалось, що

особливістю цих атомів є наявність 4f-оболонки, яка тільки зароджується і приймає участь у формуванні зони провідності і може бути розташована поблизу рівня Фермі. Цей факт повинен проявлятися експериментально в 3d-рентгенівських спектрах атомів барію у вигляді суттєвого розширення спектра [6]. Але найбільший інтерес представляє безпосередня експериментальна перевірка наявності в зоні провідності вільних 4f-станів. Таким експериментом може бути дослідження $M_{IV,V} N_{IV,V}$ рентгенівських спектрів поглинання Ва у відповідних сполуках, обумовлених електронними переходами $3d^{10}4f^0 \rightarrow 3d^9 4f^1$ і $4d^{10}4f^0 \rightarrow 4d^9 4f^1$. Таке дослідження виконано в даній роботі разом з інтерполяцією результатів квантово-механічними розрахунками в кластерному наближенні методом X_α -розсіяних хвиль.

II. Методика приготування зразків

За короткий час після отримання кераміки 1:2:3 зроблені спроби вивчення надпровідних властивостей кераміки шляхом заміщення атомів в катіонній решітці, тобто Y, Ва, Cu на лужні і перехідні метали, а також елементи рідкоземельної групи. Дані подані в огляді [8], показують, що підняти температуру надпровідного переходу цим способом не вдається. Навпаки, в багатьох випадках спостерігалось погіршення характеристик

Таблиця.

№	Зразок	Наявність на сколі на границях кристалів підвищеного вмісту легуючого елементу			Реальний склад зразка				
		Фази, їх об'ємний вміст							
		K	Zn	Zr	YBa ₂ Cu ₃ O ₇	YBa ₂ Cu ₃ O ₇	CuO	Леговані 1:2:3	Інші фази
1	YBa _{2,95} K _{0,05} Cu _{2,95} Zn _{0,05} O _{7 δ}	+	+	-	-	-	-	90 ÷ 95% Y ₇₅ Ba _{17,5} Cu _{26,7} Zn _{0,4} O _{47,9}	5 ÷ 10% Ba _{19,4} Cu _{38,3} Zn ₁₈ O _{40,5}
2	YBa _{2,95} Cu _{2,95}	-	+	-	80%	10-20%	1%	-	-

надпровідних властивостей. Як правило, висновок про те, що отримана кераміка є власне саме 1:2:3, робився на основі рентгеноструктурного і рентгенофлуорисцентного методів аналізу. Відмічена невелика кількість інших фаз вважалась не впливаючим на температуру надпровідного переходу. В даному дослідженні була зроблена спроба вивчити вплив легуючих елементів на склад поверхневого шару кристалітів і міжкристалітних прошарків. З цією метою синтезувались кераміки складу (1:2:3), в які на стадії синтезу добавлялись K, Zn в межах 0,4%. Полікристалічні зразки готували по окремій технології. В якості вихідних брали BaCO₃, CuO, K₂CO₃, Y₂O₃, ZnO₂ марок ос.ч. і х.ч. Для порівняння отримували також кераміку 1:2:3 із реактивів ч. Після попередньої сушки реактивів і зважування необхідних кількостей проводили мокре змішування в халцедонових ступках з додаванням води (бідістілат), або спирту. Сухі змішані порошки протирали декілька разів через сито для підвищення однорідності. Першу термообробку проводили в агатових або платинових тиглях при 900⁰C на протязі 5 годин в окиснювальній атмосфері, після чого проводили перетирання в халцедонових ступках через капронове сито.

Після цього проводили другу термообробку при температурі 850-900⁰C на протязі 5 годин подрібненням шихти і перетиранням через капронове сито. Пресування проводили без додавання зв'язки і випалювання кераміки при 900⁰C на протязі 5 годин в окиснювальній атмосфері. Багатократне випалювання, подрібнення і протирання проводиться з метою підвищення однорідності розподілу елементів об'єму.

В усіх досліджуваних зразках відмічалось пониження надпровідного переходу. Методами

растрової електронної мікроскопії і рентгено-спектрального мікроаналізу досліджувався як шліф, так і скол зразків з використанням в першому випадку методики статистичного мікроаналізу для виявлення можливих фаз. Виявлено, що в усіх зразках на межах кристалів, в міжкристалічному просторі, по межах сколів знаходяться локальні і протяжні ділянки з підвищеним вмістом легуючих елементів. Відзначено, що на ділянках з особливо великими по концентрації і площі сегрегаціями самі кристаліти були не розвинуті, їх форма і взаємне розташування відрізнялись від таких в кераміці (1:2:3).

Описана морфологія і характер розподілу легуючого елементу є таким, які найбільш часто зустрічаються в досліджуваних зразках. Для двох зразків було проведено дослідження фазового складу методом статистичного мікроаналізу [9] (таблиця). Із таблиці випливає, що в досліджуваних зразках легуючі елементи розміщені у вигляді протяжних ділянок неправильної форми і змінної товщини.

Причин, які приводять до сегрегації фаз і окремих елементів на фазовий і елементарний склад на межі, може бути декілька:

кристалохімічні – забезпечують щільну упаковку атомів;

технологічні – нерівномірний розподіл компонентів, особливо малих концентрацій по об'єму.

Вибір легуючих добавок проводиться з врахуванням кристалохімічних особливостей і їх можливим впливом на електрофізичні властивості кераміки 1:2:3. Що торкається технологічних причин, то це потребує додаткових досліджень.

Таким чином, при спробі зміни температури надпровідного переходу з допомогою заміщення атомів в катіонній підрешітці в кераміці 1:2:3

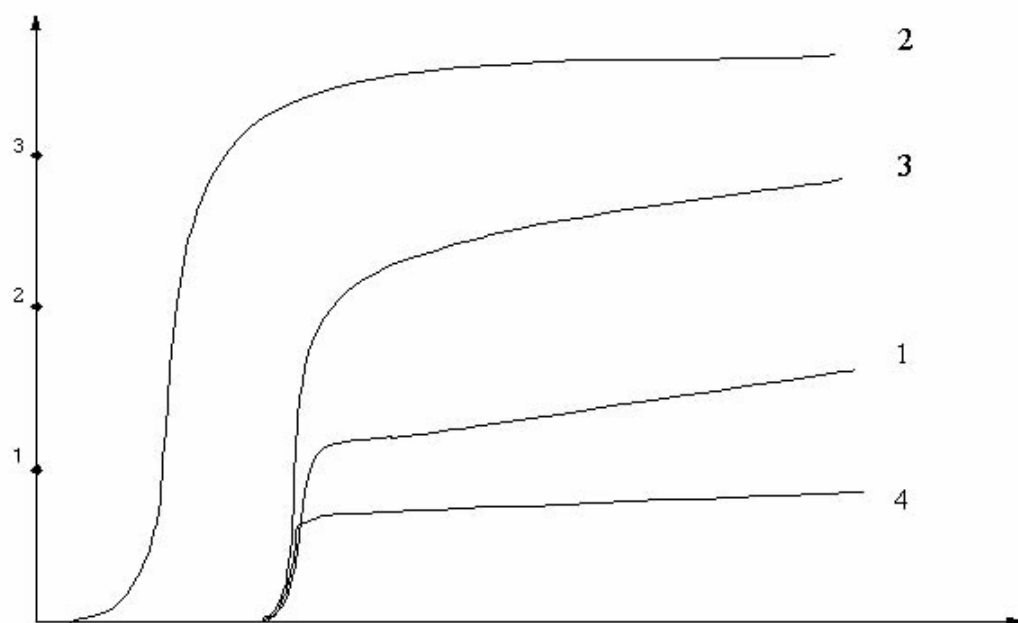


Рис. 1. Залежність електроопору від температури
 1 – $\text{YBa}_2\text{Cu}_3\text{O}_{7-\delta}$; 2 – $\text{YBa}_{1,95}\text{K}_{0,05}\text{Cu}_{2,95}\text{O}_{7-\delta}$;
 3 – $\text{YBa}_2\text{Cu}_{2,95}\text{Zn}_{0,05}\text{O}_{7-\delta}$; 4 – $\text{YBa}_{1,95}\text{K}_{0,05}\text{Cu}_3\text{O}_{7-\delta}$.

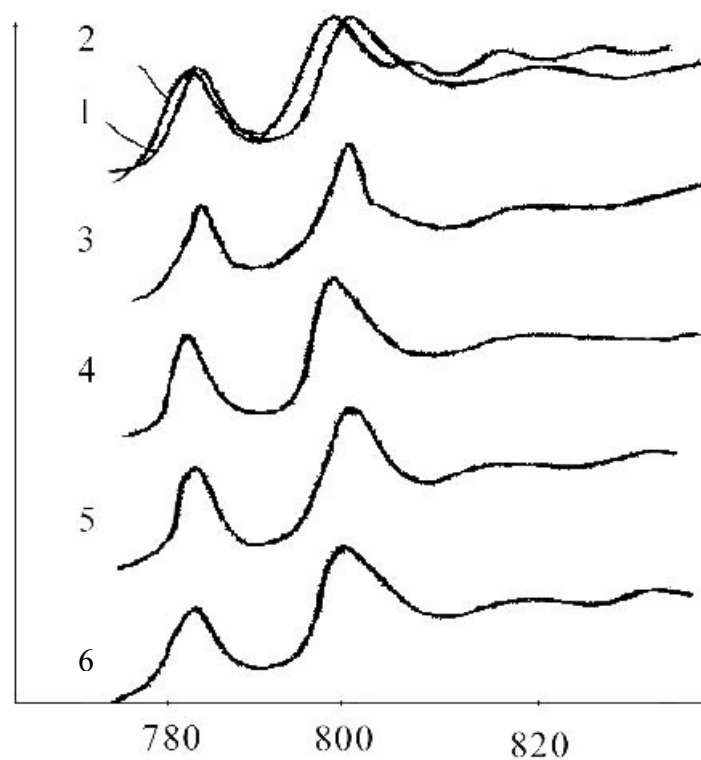


Рис. 2. Експериментальні $M_{IV,\nu}$ спектри квантового виходу барію:
 1 – BaF; 2 – BaO; 3 – $\text{YBa}_2\text{Cu}_3\text{O}_{7-\delta}$; 4 – $\text{YBa}_{1,95}\text{K}_{0,05}\text{Cu}_{2,95}\text{Zn}_{0,05}\text{O}_{7-\delta}$;
 5 – $\text{YBa}_{1,95}\text{Cu}_{2,95}\text{Zn}_{0,05}\text{O}_{7-\delta}$; 6 – $\text{YBa}_{1,95}\text{Cu}_{2,95}\text{O}_{7-\delta}$.

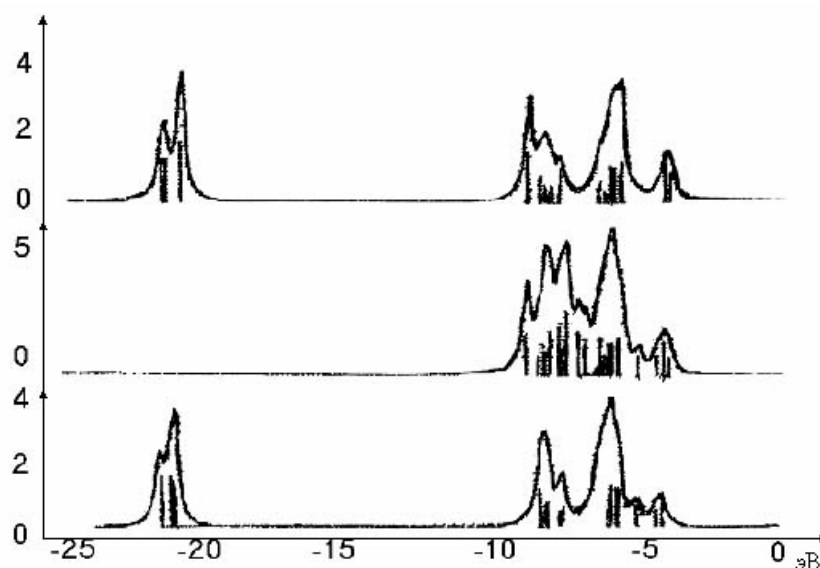


Рис. 3. Повна і локальна густина електронних станів у кластері $[\text{BaCu}_4\text{O}_8]^{-0,6}$ в збудженому стані Ва: $3d^94f^1$.

необхідно враховувати можливий вплив сегрегацій фаз і окремих елементів на фазовий і елементний склад на межі зерна.

Використовувався стандартний метод X_α з обмінно-кореляційним потенціалом у наближенні Хедіна-Лундквіста.

III. Експериментальна і розрахункова методика

Вимірювання залежностей опору від температури рис. 1 проводилось чотирьохзондовим методом на парах в середовищі He. Термометром служив термоопір. Перед експериментом поверхня керамічного зразка зачищалась і на неї наносились чотири контакти із індію.

Виміри спектрів квантового виходу і емісії проводились на рентгенівському спектрометри-монохроматорі РСМ-500 з дифракційною решіткою (600 ліній/мм, радіус кривизни для N-спектрів = 2 м, для M-спектрів = 6 м). Режим роботи рентгенівської трубки з вольфрамовим анодом складав для $M_{IV,V}$ і $N_{IV,V}$ -спектрів квантового виходу 5 кВ, 100 мА. $N_{IV,V}$ -спектри емісії барію в досліджуваних сполуках отримані при режимі на трубці 3 кВ, 10 мА. Ширина щілин спектрометра складала 20 мкм при отриманні $M_{IV,V}$ - спектрів, що дозволило мати енергетичне розділення порядку 2 еВ. У випадку $N_{IV,V}$ -спектрів ширина щілин складала 100 мкм, що давало розділення 0,8 еВ. Для отримання спектрів квантового виходу досліджувана речовина втирається в фотокатод, попередньо подрібнюючись до порошку. Детектором електронів використовувався вторинний електронний помножувач відкритого типу, фотокатод якого є першим діодом помножувача.

Для інтерпретації отриманих у роботі $M_{IV,V}$ і $N_{IV,V}$ -спектрів поглинання атомів барію проведені розрахунки електронної будови кластерів $(\text{BaCu}_4\text{O}_8)^{-6,0}$ якими моделювались сполуки $\text{YBa}_2\text{Cu}_3\text{O}_7$.

IV. Результати і обговорення

На рис. 2 наведені $M_{IV,V}$ -спектри квантового виходу атома барію для сполук BaF_2 і BaO (1:2:3) з домішками Zn і K, які відображають структуру 4f-вільних станів атома барію. Якщо у випадку атома лантану вплив основної вакансії був такий великий, що енергія 4f-стану була розміщена над рівнем Фермі, то у випадку атома барію релаксаційні ефекти не такі великі.

Як впливає із рис. 2 стани 4f-симетрії знаходяться в безпосередній близькості від рівня Фермі. Необхідно відмітити відмінність у спектрах квантового виходу в BaF_2 і BaO . Не дивлячись на те, що атом барію знаходиться в цих сполуках в одному і тому ж зарядовому стані, енергетичне положення вільної 4f-оболонки різне. Відрізняється структура 4f-станів у зоні провідності системи 1:2:3 (крива 3) і кераміки, легованої атомами K (крива 4). Цікаво відмітити, що T_c у кераміці $\text{Y}_{7,5}\text{Ba}_{17,5}\text{Cu}_{26,7}\text{Zn}_{0,4}\text{O}_{47,9}$ значно падає. Очевидно, можна зробити припущення про існування кореляції між значенням T_c і структурою f-станів у зоні провідності.

Проведений у даній роботі розрахунок електронної структури кластера $[\text{BaCu}_4\text{O}_8]^{-6,0}$, яким моделювалась частина елементарної комірки, не дозволив отримати доброго погодження з експериментальними даними. На рис. 3 наведені результати розрахунку електронної структури такого кластера в збудженому стані $(\text{Ba}:3d^94f^1)$, моделюючому експериментальний $M_{IV,V}$ -спектр квантового виходу атома барію. Розрахована енергія 4f-стану знаходиться дещо далі від рівня Фермі, ніж

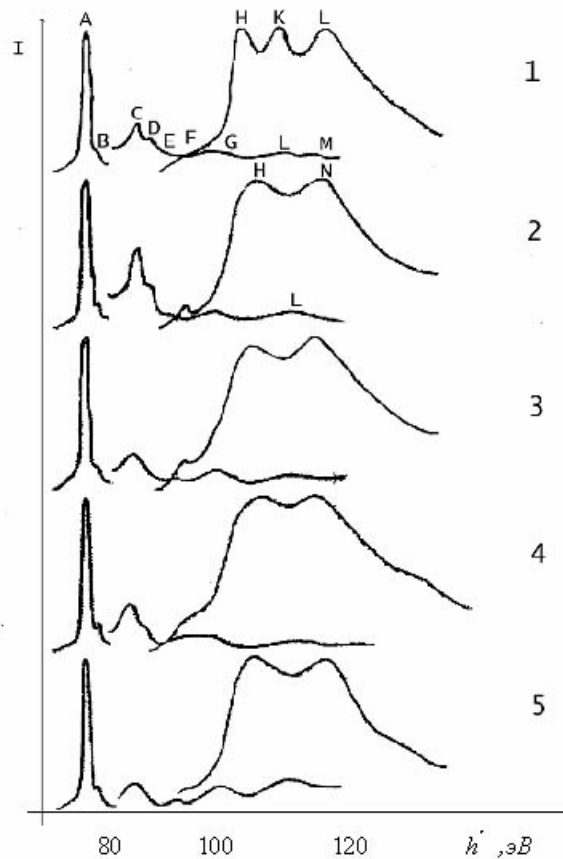


Рис. 4. Експериментальні $N_{IV,V}$ – спектри емісії квантового виходу барію:
 1 – BaO; 2 – $YBa_2Cu_3O_{7-\delta}$; 3 – $YBa_{1.7}K_{0.3}Cu_{2.9}Co_{0.05}O_{7-\delta}$;
 4 – $YBa_{1.7}K_{0.3}Cu_{2.9}Zn_{0.1}O_{7-\delta}$; 5 – $YBa_{1.95}K_{0.5}Cu_{2.95}Zn_{0.05}O_{7-\delta}$.

відповідний максимум в експериментальному спектрі.

Структуру вільних f-станів можна отримати, дослідивши $N_{IV,V}$ -спектри квантового виходу атома барію. На рис. 4 показані такі спектри (разом з $N_{IV,V}$ -емісійними рентгенівськими спектрами) керамічних зразків. Максимум Г на кривій спектра поглинання відповідає енергії 4f-станів у конфігурації $4d^94f^1$ в атомі барію. Отже, у цьому випадку стани f-симетрії знаходяться вище рівня Фермі (12 eV). Таким чином, аналіз $M_{IV,V}$ і $N_{IV,V}$ -спектрів атома барію показує, що 4f-атомоподібний рівень надзвичайно чутливий до змін потенціалу на атомі барію. У випадку сильних змін у потенціалі (вакансія в 3d-оболонці, яка приводить практично до ефективної зміни заряду ядра) 4f-стан знаходиться на рівні Фермі. У випадку не таких сильних збурювань атома (вакансія в 4d-

оболонці) 4f-стан знаходиться більш, ніж на 10 eV вище рівня Фермі. Слід відмітити, що в обох випадках число заповнень 4f-рівня дорівнює одиниці. При зменшенні ефективного числа заповнення 4f-станів ми наближаємось до випадку основного стану системи.

При цьому енергія сильно залежить від потенціалу на атомі і ефективного числа заповнення цих станів. Тому стає проблемним одночасний підхід до теоретичного опису енергетичного спектра зони провідності в рамках наближення методу функціоналу густини. Очевидно, тільки врахування багатоелектронних ефектів на вузлі атомів Ba (наприклад, конфігураційна взаємодія) дозволить коректно отримати енергетичний спектр зони провідності в основному стані.

- [1] M. Onellion, Y. Chand, D.M. Niles, Joynt Robert, G. Margaritondo, N.G. Stoffel, J.M. Tarascon. Photoemission resonances of the high-temperature superconductor $YBa_2Cu_3O_{7+x}$ // *Phys. Rev. B.*, **14**, pp. 7167-7171 (1989).
- [2] Ming Tang, Y. Chang, M. Onellion, J. Scuntjents D.C. Larbalestier, G. Margaritondo. Chemical and electronic structure of high-temperature superconductors: $YBa_2Cu_3O_{7+x}$ and $Lf_{2-x}Sr_xCuO_4$ // *Phys. Rev. B.*, **4(37)**, pp. 1611-1615 (1988).

- [3] A.J. Lowe, D. Greig, M.A. Howsov, M.J. Walker, D. Hornsen, F.V. Quinn, J.A.D. Metthew. A photo-emission comparison of superconducting and semiconducting $\text{YBa}_2\text{Cu}_3\text{O}_x$ // *J. Phys. C. Solid State Phys.*, **2**(21), pp. 342-347 (1998).
- [4] P. Thiry, G. Rossi, Y. Petroff, A. Revcolevschi, J. Jegoudez. Observation of Strong Electron Correlation in $\text{YBa}_{2-x}\text{Cu}_{3-x}\text{O}_{7-\delta}$ by hv-Depend photoelectron Spectroscopy // *Europhys. Lett.*, **1**(5), pp. 55-60 (1998).
- [5] Frank Herman. Electronic structure of oxygen-deficient high- T_c superconductors. $\text{YBa}_2\text{Cu}_3\text{O}_x$ ($6 \leq x \leq 8$) // *Physical Review B.*, **13**(36), pp. 6904-6914 1995.
- [6] А.Н. Тимошенко, Н.Н. Кравченко, А.И. Сенкевич. Электронное строение сверхпроводящих керамик и возможный критерий высокотемпературной сверхпроводимости в системе Y-Ba-Cu-O // *Металлофизика*, **4**(10), сс. 14-18 (1988).
- [7] S. Sugai. Effects of oxygen deficiency on the infrared spectra in $\text{YBa}_{2-x}\text{Cu}_{3-x}\text{O}_{7-\delta}$ // *Physical Review B.*, **11**(37), pp. 7133-7136 (1997).
- [8] Под. Ред. Ю.Д. Третьякова. *Химия и технология высокотемпературных сверхпроводников*. Итоги науки и техники, сер. Химия твёрдого тела, Прогресс, Т. 6, М. сс. 114-119 (1988).

V. Kasiyanenko, V. Martyniuk

Features of a Structure of a Zone of Conductivity in High-temperature Ceramics of System 1:2:3 alloying K and Zn

*Vinnytsya State Technical University
95, Hmelnytsk Road, Vinnytsya, 21021, Ukraine*

With the purpose of understanding of a parity between baric and copper stehiometry, electronic structure, the volumetric maintenance of phases and temperature of transition in a semi-conductor condition in system 1:2:3, we have lead alloying for $x = 25$ on potassium and zinc. The results received by us, provide an estimation T_c and enable to connect its size with electronic structure. Our analysis testifies that possible value T_c depends from structure f-conditions in a zone of conductivity. Also influence on temperature of semi-conductor transition of replacement in cation to a sublattice is revealed which is caused by possible influence segregation phases of separate elements on phase structure on border of a grain is revealed. The analysis of features of zoned structure which is carried out by us on the basis of theoretical calculations, provides, that T_c depends on density of electronic conditions near to level Fermi $N(E_F)$. Comparing experimental and theoretical results, we came to a conclusion, that for reception of a full power spectrum of a zone of conductivity it is necessary to take into account influence of discrete - electronic effects on unit in atom of Ba.